

湾水振動に及ぼす湾口部の水深変化の影響について

徳島大学工学部

正員 ○越智裕

同上

正員 三井宏

徳島大学工業短期大学部

正員 村上仁士

1. まえがき： 従来の湾水振動に関する研究は、港湾の内外で水深の等しいモデルを用い、港湾の形状特性に主眼が置かれていた。しかし、現地港湾の共振特性を予測するには港湾の海底地形にあわせて水深変化の影響を考慮して解析する必要があり、特に湾水の共振特性は湾口部の境界条件によって規定されるため、湾口部における水深変化の影響を把握することが重要であると思われる。本研究は1次元長方形港湾を対象として理論解を示し、その解析結果と実験結果とともに湾水の振動特性に及ぼす湾口部の水深変化の影響について考察する。

2. 理論解： 湾口水深変化の影響を導入した湾水振動理論には Le Méhauté の理論があるが、水深変化の度合が大きくなると適用できない欠点があり、湾口部における波のエネルギー逸散も考慮されていない。²⁾ この欠点を解消するために、湾口部の水深変化がない場合に波のエネルギー逸散を考慮して得られた理論と一様幅の水路で水深のみが変化する場合に波の変形を取り扱った理論を用い、波を複素表示することによって前者を組み合わせ、理論解を誘導した。ここでは、より結果のみを示す。まず、図-1に示すような港湾モデルにおける湾奥の波高増幅率 R （入射波高の2倍に対する湾奥の波高）は次式で与えられる。

$$R = \frac{r(1+p)A_1}{2\sqrt{1+(B_2 r^2 p)^2 - 2B_2 r^2 p \cos(\hat{\beta}_2 + 2\hat{p})}} \quad (1)$$

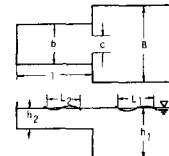
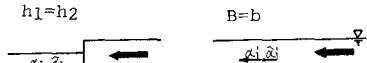


図-1 港湾モデル

$r = -2\pi l/L_2$ (2) であり、 r は波高減衰率、 p は湾奥の反射率で長周期波の場合にはそれぞれ1となる。 A_1 は図-1の港湾モデルで湾奥のない場合の急縮断面の透過程率、 B_2 および \hat{B}_2 は急拡断面の反射率と位相差である。

$$A_1 = \frac{\alpha_1 \alpha'_1}{\sqrt{1+(\beta_1 \beta'_1)^2 + 2\beta_1 \beta'_1 \cos \beta_1}} \quad (3)$$



$$B_2 = \sqrt{\beta_2^2 + r^2 + 2\beta_2 r \cos(\beta_2 - \hat{p})} \quad (4)$$



$$\hat{B}_2 = \tan^{-1} \frac{\beta_2 \sin \beta_2 + r \sin \hat{p}}{\beta_2 \cos \beta_2 + r \cos \hat{p}} \quad (5)$$



式(4), (5)中の \hat{p} は次式で表わされる。

$$p = \frac{\alpha_1 \alpha_2 \beta_2}{\sqrt{1+(\beta_1 \beta'_1)^2 + 2\beta_1 \beta'_1 \cos \beta_1}} \quad (6)$$

$$\hat{p} = \tan^{-1} \frac{\sin(\hat{\alpha}_1 + \hat{\alpha}_2) + \beta_1 \beta'_2 \sin(\hat{\alpha}_1 + \hat{\alpha}_2 - \hat{\beta}_1)}{\cos(\hat{\alpha}_1 + \hat{\alpha}_2) + \beta_1 \beta'_2 \cos(\hat{\alpha}_1 + \hat{\alpha}_2 - \hat{\beta}_1)} \quad (7)$$

$\alpha_1, \alpha_2, \beta_1, \beta_2, \hat{\alpha}_1, \hat{\alpha}_2, \hat{\beta}_1$ および $\hat{\beta}_2$ はそれぞれ図-1の湾口部モデルにおける波の変形を示す諸量で、

$$\alpha_1 = (B/b)^{1/4} (C/b)^{1/4} \quad (8) \quad \alpha_2 = (b/B) \alpha_1 \quad (9) \quad \beta_1 = \sqrt{1-(b/B)\alpha_1^2 - \epsilon_1} \quad (10) \quad \beta_2 = \sqrt{1-(b/B)\alpha_2^2 - \epsilon_2} \quad (11)$$

$$\hat{\alpha}_1 = \cos^{-1} \frac{1 + (b/B)}{2(b/B)} \alpha_1^2 + \epsilon_1 \quad (12)$$

$$\hat{\alpha}_2 = \cos^{-1} \frac{1 + (b/B)}{2\alpha_1} \alpha_2^2 + \epsilon_2 \quad (13)$$

$$\hat{\beta}_1 = \cos^{-1} \frac{2 - \{1 + (b/B)\}(b/B)\alpha_1^2 - \epsilon_1}{2\sqrt{1-(b/B)\alpha_1^2 - \epsilon_1}} \quad (14)$$

$$\hat{\beta}_2 = \cos^{-1} \frac{2 - \{1 + (b/B)\}\alpha_2^2 - \epsilon_2}{2\sqrt{1-(b/B)\alpha_2^2 - \epsilon_2}} \quad (15)$$

式中 ϵ_1, ϵ_2 はそれぞれ急縮断面および急拡断面における波のエネルギー逸散率であり、 ϵ_2 は文献(2)に示した実験値を用い、 ϵ_1 は ϵ_2 に比べて小さいと思われ、解に与える影響も小さいので0とする。 α'_1, β'_2 は文献(3)から、

$$\alpha'_1 = \pi / (1 + n_2 L_2 / n_1 L_1) \quad (16) \quad \beta'_2 = (1 + n_2 L_2 / n_1 L_1) / (1 + n_2 L_2 / n_1 L_1) \quad (17)$$

波のエネルギー保存則を適用することによって求められ、 $n = 1 + 2kh / \sinh 2kh$ 、 h は波長、 k は波数、 $\alpha'_1 = 0$ 、 $\beta'_2 = \pi$ とし、添字1は外海、2は港湾内を示す。なお、理論の適用範囲は $b/B \leq 0.2$ 、 $B/L_1 \leq 0.5$ である。

3. 港口部の水深変化の影響: 実験は図-1のモデルで $b/B = 0.2$, $c/b = 1.0$ の長方形港湾を用い、港湾内の水深 h_2 を 10cm として外海水深 h_1 を 10cm ごとに 60cm まで変化させ、入射波の周期 T は 2sec と 1.6sec の 2種類、波高は 5mm とした。図-4 はそれそれぞれ h_2 の 2倍および 5倍にしたときの振動特性を示したもので、実験値を●印で示してある。図からわかるように、 $b/B = 0.2$ 程度の港湾幅が外海幅に比べて狭い場合には、ほぼ同様な振動特性を示しており、共振時の増幅率が若干大きくなるくらいで、港口部の水深変化の影響は顕著には現われていない。図-5, 6 は共振点のみを抽出して、共振時の相対湾長 l_R/l_{n_2} やもじり増幅率 R_R の特性を示したものである。横軸の $n_2 l_2/n_1 l_1$ は水深変化の度合を表わすパラメータで、長周期波の場合には湾内水深と外海水深の比の平方根 $\sqrt{h_2/h_1}$ に近似され、値が小さいほど水深変化が大きくなる。両図から、 l_R/l_{n_2} は基本モードも第2次モードも $n_2 l_2/n_1 l_1$ によってそれほど変動していないが、 R_R は水深変化が激しくなるにつれて若干増加する傾向があるようである。

次に、2. で述べた理論の解析結果により考察を加える。図-4 は実験で用いた $b/B = 0.1$ の全閉の港湾について、外海水深を半無限まで種々に変化させたときの海水の振動特性を求めたものである。図から、実験によって得られた結果と同様な傾向を示していることがわかり、港湾内と外海とでのみの水深差がありても共振点がやや左上方に移動する程度で、振動特性にはそれほど明確な違いは現われず、港口水深変化の影響は顕著でないことがわかる。また、理論解の妥当性を検討するため図-4～6 には実験値とともに理論値を併記してあるが、理論曲線は共振時の波高増幅率を若干小さく示しているものの、ほぼ実験値と適合しているものと考えられる。このことから、本理論を用いて港湾幅の広い場合における港口水深変化の影響を調べる。図-8, 9 は共振点に注目して l_R/l_{n_2} や R_R の特性を示したものである。 l_R/l_{n_2} は水深変化が激しくなるにつれて、どの港湾幅の場合もほぼ一様に小さくなっている。一方、 R_R は b/B によって変化の度合が異なり、 $b/B = 0.7$ の場合、外海水深が半無限 ($n_2 l_2/n_1 l_1 = 0$) のときの R_R は水深変化がない ($n_2 l_2/n_1 l_1 = 1.0$) ときの 4倍以上にもなっている。

4. まとめ: 以上、海水振動に及ぼす港口部の水深変化の影響は、港湾幅が広くなるほど

顕著に現われ、水深変化が激しくなるほど共振時の増幅波高は大きくなり、共振周期は短くなることがわかった。最後に、実験および資料整理に御協力頂いた当時徳島大学学生の武川秀也君(前田道郎)に謝意を表する。

- (参考文献) 1) Le Méhauté, B.: Theory of wave agitation in a harbor, J. Hy. Div., Proc. ASCE, pp. 11~41, Nov. 1960.
 2) 村上・越智: 防波堤による波のエネルギー遮蔽および海水振動の制御について、第2回潮論、pp. 221~232, 1975.
 3) Ippen A.T.: Estuary and coastline hydraulics, Chap. 1, pp. 71~77.

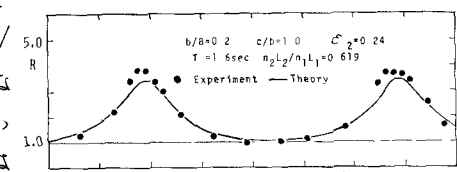
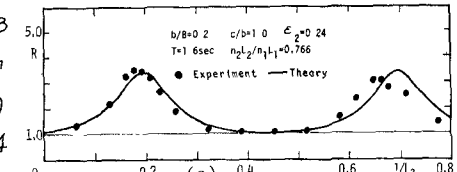


図-4 海水の振動特性

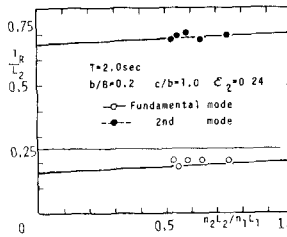


図-5 l_R/l_{n_2} の特性

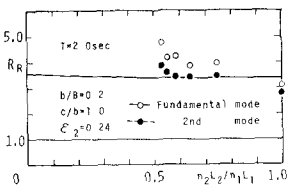


図-6 R_R の特性

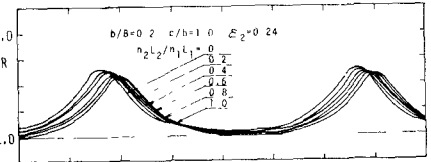


図-7 海水の振動特性

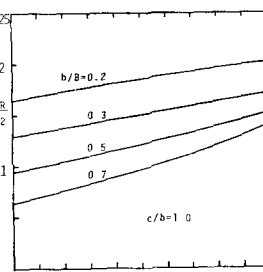


図-8 l_R/l_{n_2} の特性

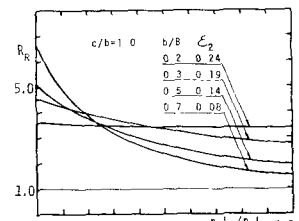


図-9 R_R の特性